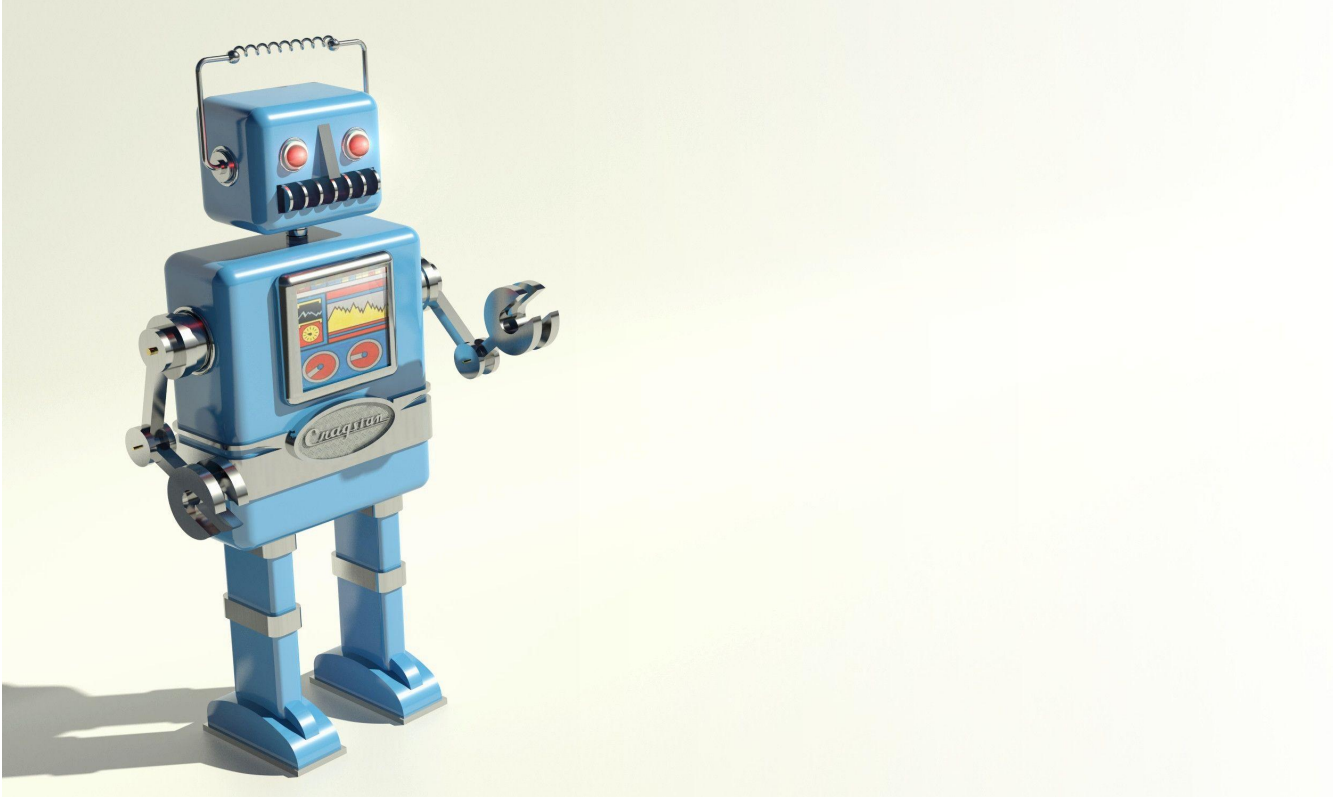


Ρομποτική 1

Εξαμηνιαία Εργασία – Μέρος Α Θεωρητική Ανάλυση

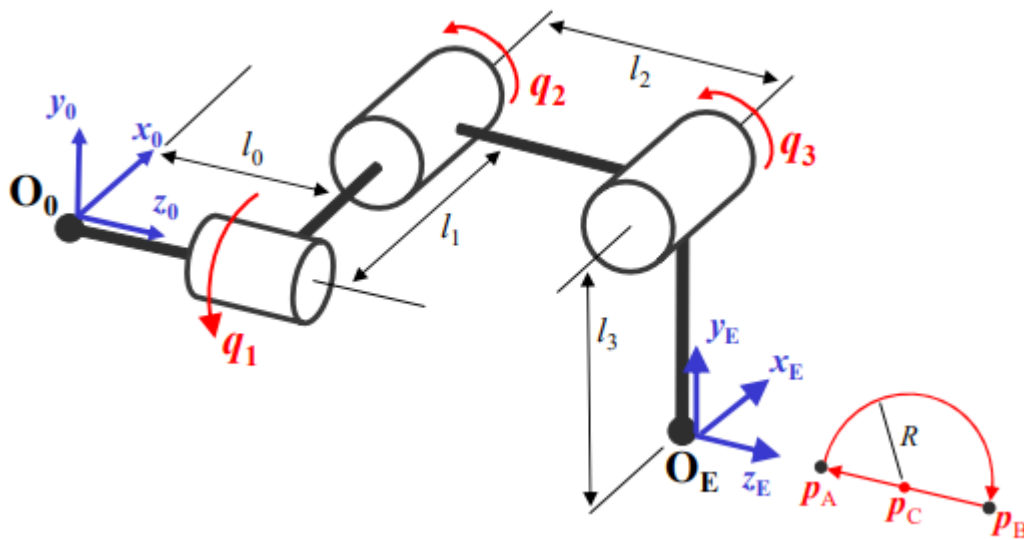
Ρομποτικός Μηχανισμός 3 Στροφικών Βαθμών Ελευθερίας

Κάπρος Παναγιώτης 03118926



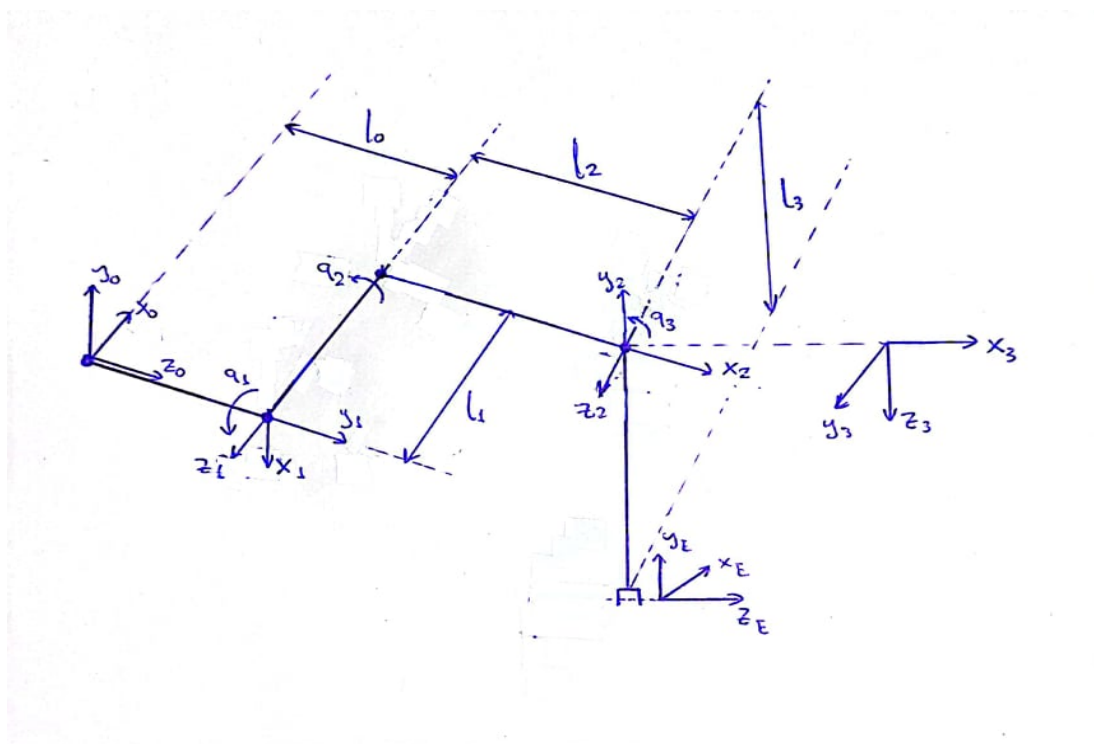
Σκοπός

Σκοπός της εργασίας είναι η ανάλυση του κινηματικού μοντέλου ενός ρομποτικού διαχειριστή 3 στροφικών βαθμών ελευθερίας, ο οποίος απεικονίζεται παρακάτω:



1. Ανάλυση Denavit – Hartenberg:

Με βάσει τους κανόνες για την παραμετροποίηση των αξόνων του συστήματος προκύπτει το παρακάτω σύστημα με τους αντίστοιχους άξονές του για κάθε έναν από τους τρεις στροφικούς άξονες:



Η τοποθέτηση των κέντρων και αξόνων σε κάθε σύνδεσμο έγινε βάσει των εξής κανόνων:

- Για κάθε άρθρωση q_i αντιστοιχεί κέντρο O_{i-1} χωρίς αυτό να απαιτεί την ίδια αρίθμηση για τους άξονες x, y, z .
- Ο άξονας z_i πρέπει να ορίζει την άρθρωση q_i και εφόσον στην περίπτωση μας έχουμε περιστροφικές αρθρώσεις, τότε θέλουμε να είναι ο άξονας περιστροφής.
- Ο άξονας x_i πρέπει να είναι στην κοινή κάθετο των z_{i-1} και z_i .

Δεδομένων των παραπάνω απαιτήσεων, έγινε η μεταφορά των αξόνων για $i = 1$ στην άρθρωση q_1 καθώς ήδη η άρθρωση αυτή καλύπτονταν από του άξονες με $i = 0$ και τοποθετώντας τους άξονες με $i = 1$ στην άρθρωση 2 δε θα είχαμε ποτέ υλοποίηση της απαίτησης του άξονα x_i να είναι στην κοινή κάθετο των z_{i-1} και z_i . Επίσης σε αυτό το σημείο να τονιστεί πως στο τελικό σημείο του συστήματος χρειάστηκε ο ορισμός ενός βοηθητικού άξονα (άξονας 3) με σκοπό να έχουμε πλήρη ικανοποίηση των κανόνων που εφαρμόζονται για την παραμετροποίησή μας (στην συγκεκριμένη περίπτωση απαιτούμε ο εκάστοτε x_i άξονας να είναι κάθετος με τον εκάστοτε z_{i-1} άξονα χωρίς αυτό να ισχύει για τους άξονες x_0, y_0, z_0).

Δεδομένων των παραπάνω, τα βήματα μετάβασης από το αρχικό στο τελικό πλαίσιο παρατίθενται στον παρακάτω πίνακα:

Πίνακας Μετάβασης – Denavit Hartenberg				
i	$\theta_i - \text{Rot}_z$	$d_i - \text{Tra}_z$	$a_i - \text{Tra}_x$	$\alpha_i - \text{Rot}_x$
$0 \rightarrow 1$	$q_1 - \pi/2$	l_0	0	$+\pi/2$
$1 \rightarrow 2$	$q_2 + \pi/2$	$-l_1$	l_2	0
$2 \rightarrow 3$	q_3	0	0	$+\pi/2$
$3 \rightarrow E$	$-\pi/2$	l_3	0	$-\pi/2$

2. Ευθεία Κινηματική Ανάλυση

Σε αυτό το σημείο παρατίθενται οι ομογενείς μήτρες μετασχηματισμού όπως προκύπτουν από τον παραπάνω πίνακα DH-Table:

$$\begin{aligned}
 {}^0A_1 &= \begin{bmatrix} s_1 & 0 & -c_1 & 0 \\ -c_1 & 0 & -s_1 & 0 \\ 0 & 1 & 0 & l_0 \\ 0 & 0 & 0 & 1 \end{bmatrix} & {}^1A_2 &= \begin{bmatrix} -s_2 & -c_2 & 0 & -s_2 * l_2 \\ c_2 & -s_2 & 0 & l_2 * c_2 \\ 0 & 1 & 0 & -l_1 \\ 0 & 0 & 0 & 1 \end{bmatrix} & {}^2A_3 &= \begin{bmatrix} c_3 & 0 & s_3 & 0 \\ s_3 & 0 & -c_3 & 0 \\ 0 & 0 & 1 & 0 \\ 0 & 0 & 0 & 1 \end{bmatrix} \\
 {}^3A_E &= \begin{bmatrix} 0 & 0 & 1 & 0 \\ -1 & 0 & 0 & 0 \\ 0 & -1 & 0 & l_3 \\ 0 & 0 & 0 & 1 \end{bmatrix}
 \end{aligned}$$

Και άρα η κινηματική εξίσωση του βραχίονα έχει ως εξής:

$${}^0 A_E = {}^0 A_1 * {}^1 A_2 * {}^2 A_3 * {}^3 A_E = \begin{bmatrix} c_1 & s_1 * s_2 * s_3 - c_2 * c_3 * s_1 & -c_2 * s_1 * s_3 - c_3 * s_1 * s_2 & c_1 * l_1 + l_3 * (c_2 * c_3 * s_1 - s_1 * s_2 * s_3) - l_2 * s_1 * s_2 \\ s_1 & c_1 * c_2 * c_3 - c_1 * s_2 * s_3 & c_1 * c_2 * s_3 + c_1 * c_3 * s_2 & l_1 * s_1 - l_3 * (c_1 * c_2 * c_3 - c_1 * s_2 * s_3) + c_1 * l_2 * s_2 \\ 0 & -c_2 * s_3 - c_3 * s_2 & c_2 * c_3 - s_2 * s_3 & l_0 + c_2 * l_2 + l_3 * (c_2 * s_3 + c_3 * s_2) \\ 0 & 0 & 0 & 1 \end{bmatrix}$$

Να σημειωθεί πως για χάρη των παρακάτω ερωτημάτων υπολογίζουμε και την μήτρα A_2^0 ως εξής:

$${}^0 A_2 = {}^0 A_1 * {}^1 A_2 = \begin{bmatrix} -s_1 * s_2 & -c_2 * s_1 & -c_1 & c_1 * l_1 - l_2 * s_1 * s_2 \\ c_1 * s_2 & c_1 * c_2 & -s_1 & l_1 * s_1 + c_1 * l_2 * s_2 \\ c_2 & -s_2 & 0 & l_0 + c_2 * l_2 \\ 0 & 0 & 0 & 1 \end{bmatrix}$$

3. Προσδιορισμός Ιακωβιανής Μήτρας

Η Ιακωβιανή μήτρα του μηχανισμού θα είναι διαστάσεων 6x3 και η μορφή της βάσει θεωρίας έχει ως εξής:

$$J = \begin{bmatrix} b_0 * {}^0 A_E & b_1 * ({}^0 A_E - {}^0 A_1) & b_2 * ({}^0 A_E - {}^0 A_2) \\ 1 & 1 & 1 \end{bmatrix} \text{ όπου } b_0 = \begin{bmatrix} 0 \\ 0 \\ 1 \end{bmatrix}, b_1 = \begin{bmatrix} -c_1 \\ -s_1 \\ 0 \end{bmatrix}, b_2 = \begin{bmatrix} -c_1 \\ -s_1 \\ 0 \end{bmatrix}$$

Να σημειωθεί πως από τις μήτρες A παραπάνω λαμβάνουμε μόνο τα στοιχεία από τις τρεις πρώτες γραμμές και την τέταρτη μόνο στήλη ενώ για τις μήτρες b_1 και b_2 λαμβάνουμε τα στοιχεία από τις τρεις πρώτες γραμμές και την τρίτη στήλη των πινάκων A_1^0 και A_2^0 αντίστοιχα.

Άρα η Ιακωβιανή μήτρα που προκύπτει είναι η εξής:

$$J = \begin{bmatrix} l_3 * (c_1 * c_2 * c_3 - c_1 * s_2 * s_3) - l_1 * s_1 - c_1 * l_2 * s_2 & -s_1 * (c_2 * l_2 + l_3 * (c_2 * s_3 + c_3 * s_2)) & -l_3 * s_1 * (c_2 * s_3 + c_3 * s_2) \\ c_1 * l_1 + l_3 * (c_2 * c_3 * s_1 - s_1 * s_2 * s_3) - l_2 * s_1 * s_2 & c_1 * (c_2 * l_2 + l_3 * (c_2 * s_3 + c_3 * s_2)) & c_1 * l_3 * (c_2 * s_3 + c_3 * s_2) \\ 0 & -(c_1^2 + s_1^2) * (l_2 * s_2 - c_2 * c_3 * l_3 + l_3 * s_2 * s_3) & l_3 * (c_2 * c_3 - s_2 * s_3) * (c_1^2 + s_1^2) \\ 0 & -c_1 & -c_1 \\ 0 & -s_1 & -s_1 \\ 1 & 0 & 0 \end{bmatrix}$$

4. Αντίστροφο Διαφορικό Κινηματικό Μοντέλο

Οι ιδιομορφίες του εξεταζόμενου συστήματος, προκύπτουν στα σημεία μηδενισμού της ορίζουσας του 3x3 υποπίνακα της ιακωβιανής μήτρας εφόσον μας ενδιαφέρει η γραμμική ταχύτητα του τελικού εργαλείου. Έτσι έχουμε:

$$\det(J) = 0 \rightarrow c_3 * l_2 * l_3 * (l_2 * s_2 - c_2 c_3 * l_3) = 0. \text{ Άρα οι περιπτώσεις είναι είτε } c_3 = 0, \text{ είτε } l_2 * s_2 = c_2 c_3 * l_3.$$

Για την πρώτη περίπτωση όπου έχουμε $\cos(q_3) = 0$, συμπεραίνουμε πως το q_3 είναι ίσο είτε με $q_3 = \pi/2$ είτε με $q_3 = 3\pi/2$, άρα δηλαδή όταν ο τελευταίος σύνδεσμος εκτείνεται προς τα πάνω ή προς τα κάτω.

Στην δεύτερη περίπτωση, μέσω της κινηματικής εξίσωσης παρατηρούμε πως ο μηχανισμός βρίσκεται σε θέση στην οποία το q_1 δεν την επηρεάζει έχοντας έτσι απώλεια βαθμών ελευθερίας στην κίνηση. Για τιμές διάφορες από τις παραπάνω στην ορίζουσα μπορούμε να θεωρήσουμε τον αντίστροφο 3x3 πίνακα. Έτσι λοιπόν προκύπτει:

$$J' = \begin{bmatrix} \frac{-c_1}{((c_1^2 + s_1^2) * (l_2 * s_2 - c_2 * c_3 * l_3 + l_3 * s_2 * s_3))} & \frac{-s_1}{((c_1^2 + s_1^2) * (l_2 * s_2 - c_2 * c_3 * l_3 + l_3 * s_2 * s_3))} & 0 \\ \frac{((c_2 * c_3 - s_2 * s_3) * (c_1 * l_1 - l_2 * s_1 * s_2 + c_2 * c_3 * l_3 * s_1 - l_3 * s_1 * s_2 * s_3))}{(c_3 * l_2 * (c_1^2 + s_1^2) * (c_2^2 + s_2^2) * (l_2 * s_2 - c_2 * c_3 * l_3 + l_3 * s_2 * s_3))} & \frac{((c_2 * c_3 - s_2 * s_3) * (l_1 * s_1 + c_1 * l_2 * s_2 + c_1 * l_3 * s_2 * s_3 - c_1 * c_2 * c_3 * l_3))}{(c_3 * l_2 * (c_1^2 + s_1^2) * (c_2^2 + s_2^2) * (l_2 * s_2 - c_2 * c_3 * l_3 + l_3 * s_2 * s_3))} & \frac{-(c_2 * s_3 + c_3 * s_2)}{(c_3 * l_2 * (c_1^2 + s_1^2) * (c_2^2 + s_2^2))} \\ \frac{(c_1 * l_1 - l_2 * s_1 * s_2 + c_2 * c_3 * l_3 * s_1 - l_3 * s_1 * s_2 * s_3)}{(c_3 * l_2 * l_3 * (c_1^2 + s_1^2) * (c_2^2 + s_2^2))} & \frac{(l_1 * s_1 + c_1 * l_2 * s_2 + c_1 * l_3 * s_2 * s_3 - c_1 * c_2 * c_3 * l_3)}{(c_3 * l_2 * l_3 * (c_1^2 + s_1^2) * (c_2^2 + s_2^2))} & \frac{(c_2 * l_2 + c_2 * l_3 * s_3 + c_3 * l_3 * s_2)}{(c_3 * l_2 * l_3 * (c_1^2 + s_1^2) * (c_2^2 + s_2^2))} \end{bmatrix}$$

5. Αντίστροφο Γεωμετρικό Μοντέλο

Από την ευθεία κινηματική εξίσωση, λαμβάνουμε τα στοιχεία της τέταρτη στήλης των τριών γραμμών $p_e = [p_x \ p_y \ p_z]$ καθώς αυτά τα στοιχεία αναπαριστούν την θέση του τελικού εργαλείου δράσης και επιλύουμε το σύστημα που προκύπτει ως προς τις μεταβλητές των αρθρώσεων. Αυτό θα έχει ως αποτέλεσμα η επιθυμητή θέση του τελικού εργαλείου να μεταφράζεται στις στροφές των αρθρώσεων. Έτσι έχουμε ότι:

$$\begin{cases} p_x = c_1 * l_1 + l_3 * (c_2 * c_3 * s_1 - s_1 * s_2 * s_3) - l_2 * s_1 * s_2 \\ p_y = l_1 * s_1 - l_3 * (c_1 * c_2 * c_3 - c_1 * s_2 * s_3) + c_1 * l_2 * s_2 \\ p_z = l_0 + c_2 * l_2 + l_3 * (c_2 * s_3 + c_3 * s_2) \end{cases} \Leftrightarrow \begin{cases} c_1 * l_1 + s_1 * (c_2 * c_3 * l_3 - l_2 * s_2) \\ l_1 * s_1 - c_1 * (l_3 * c_2 * c_3 - l_2 * s_2) \\ l_0 + c_2 * l_2 + l_3 * (c_2 * s_3 + c_3 * s_2) \end{cases} \Leftrightarrow$$

$$\begin{aligned} & l_3 * c_2 * c_3 - l_2 * s_2 = m \\ \Leftrightarrow & \text{Θέτω τις ποσότητες } m = l * \cos\varphi \quad \Leftrightarrow \text{άρα } \begin{cases} p_x = s_1 * m + c_1 * l_1 \\ p_y = -c_1 * m + l_1 * s_1 \end{cases} \Leftrightarrow \begin{cases} p_x = s_1 * l * \cos\varphi + c_1 * l * \sin\varphi \\ p_y = -c_1 * l * \cos\varphi + s_1 * l * \sin\varphi \end{cases} \Leftrightarrow \\ & l_1 = l * \sin\varphi \text{ με } l = \sqrt{m^2 + l_1^2} \end{aligned}$$

$$\Leftrightarrow \begin{cases} p_x = l * \sin(q_1 + \varphi) \\ p_y = -l * \cos(q_1 + \varphi) \end{cases} \Leftrightarrow q_1 = \text{atan2}(p_y, p_x) - \text{atan2}(l_2 * s_2 - l_3 * c_2 * c_3)$$

Για τον υπολογισμό της q_2 συναρτήσει της q_3 , θα απομονώσουμε το σύστημα αρθρώσεων 2 και 3 από το τελικό εργαλείο. Άρα έχουμε:

$$q_3 = \pm \arcsin\left(\frac{p_{1x}^2 + p_{1y}^2 - l_2^2 - l_3^2}{2 * l_2 * l_3}\right) \text{ και } q_2 = \text{atan2}\left(\pm \sqrt{(p_{Ex}^2 - p_{Ey}^2 - l_1^2)}, p_{Ez} - l_0\right) + \text{atan2}(l_3 * c_3, l_2 + l_3 * c_3)$$

Στο αρχείο part_a.m παρατίθεται ο κώδικας matlab που χρησιμοποιήθηκε για την επίλυση των εκάστοτε ερωτημάτων.